

### Señales estadísticas de comportamiento crítico en sistemas finitos

J.B.Elliott PRC 62 (2000) 064603

Supongamos que queremos estudiar comportamiento crítico en sistemas finitos.

Multifragmentación de clusters metálicos, núcleos atómicos, etc.

### Sistemas que estudian

a) Reacciones nucleares de Au+ C a 1.0A GeV

Au= (Z,A)=(79 , 197)

C=(Z,N)=(6,12)

Producida la colisión hay una serie de nucleones emitidos tempranamente resultando (hipotéticamente) un sistema

Luego masa total varía (en función de la energía) de  $A_0 \sim 92$   
( $E/A_0 \sim 2MeV/nucleon$ ) a  $A_0 \sim 194$ . ( $E/A_0 \sim 16MeV/nucleon$ )

Experimentalmente se determina la carga de los fragmentos y se usa que para  $Z < 2$  le corresponde una masa  $= Z \cdot A_0/Z_0$  donde el cociente varía entre 2.55 y 2.36 para multiplicidades pequeñas y grandes, respectivamente.

b) percolación de redes cúbicas de  $6 \times 6 \times 6 = 216$  nodos, la percolación es de links pues el proceso experimental es a masa total constante

c) Particiones aleatorias

Se trabaja con sistemas de  $A = 79$  "elementos", que corresponde a la carga

Se hace del siguiente modo :

i) se fija la multiplicidad (random entre  $[1, A]$ )

ii) Se fija el valor del máximo fragmento (que es función de

$[A, m]$ ),  $A_{\max}^1$  esta en  $(1, A - m + 1)$

iii) se sigue de este modo.

**Aplicamos el modelo de Fisher.**

Sea  $A$  la masa de los fragmentos

$$n_A = q_0 A^{-\tau} f(z) g(\mu, T)^A$$

Con

$$z = \epsilon A^\sigma$$

y  $\epsilon$  es la distancia al punto crítico

En el punto crítico

$$n_A = q_0 A^{-\tau}$$

Que debe satisfacer (no es un power law cualesquiera)

Normalizamos  $M_1$

$$M_1(\epsilon = 0) = \sum A q_0 A^{-\tau} = q_0 \sum A^{1-\tau} = 1.0$$

pues trabajamos con cosas por nodo.

De donde

$$q_0 = 1 / \sum A^{1-\tau}$$

Valido si vale la aproximacion de FDM

El segundo momento diverge con  $\gamma = (3 - \tau)/\sigma$

**Señales de transiciones de fase en las distribuciones de clusters.**

**1) Fluctuaciones**

En el punto crítico hay fluctuaciones de todos los tamaños

Esta desaparición de escalas características puede ser estudiada

Tener en cuenta que para fluidos en el punto crítico se anula la tensión superficial

**i) Estudio de  $\Delta(A_{\max}/A_0)$**

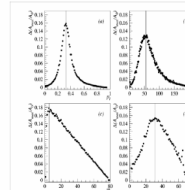


FIG. 1. Fluctuations in the normalized size of the largest cluster for the percolation  $(\epsilon = 0)$  in a cluster of  $m$ . The probability of occurrence of an  $m$ -cluster partition is a function of  $m$ , and the  $m$ -cluster partition is a function of  $m$ . Solid vertical lines indicate the peaks for the various cases.

Lo interesante es que la curva c) que corresponde a particiones aleatorias tiene un máximo que no tiene nada que ver con una transición de fase de segundo orden. Observar que aparece la multiplicidad

Esto se entiende porque en  $m = 1$  la fluctuaciones son 0 por condiciones de contorno y lo mismo para  $m = 79$

**ii) Fluctuaciones en el tamaño medio del maximo fragmento**

$$\sigma^2 = \lim_{N \rightarrow \infty} \left( \frac{1}{N} \sum A^2 \right) - \langle A \rangle^2$$

tomando en cuenta que

$$\langle A \rangle = \left( \sum n_A A \right) / \left( \sum n_A \right) = M_1 / M_0$$

Entonces

$$\sigma^2 = \frac{M_2}{M_0} - \left( \frac{M_1}{M_0} \right)^2$$

En general se usa

$$\gamma_2 = \frac{\sigma^2}{\langle A \rangle^2} + 1 = \frac{M_2 M_0}{M_1^2}$$

Que se denomina la variancia reducida.

Hay diversos modos de medirla...

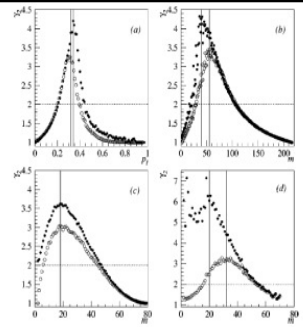


FIG. 2. Fluctuations as measured by  $\gamma_2$  for (a) percolation as a function of  $p_1$ , (b) percolation as a function of  $m$ , (c) random partitions as a function of  $m$ , and (d)  $Au + C$  multifragmentation as a function of  $m$  (at low  $m$ ,  $\gamma_2$  is affected by fission events not completely filtered). Open circles show  $\gamma_2$ , while filled circles show  $\gamma_2$  (see text for details). Solid vertical lines indicate the guess for the critical point. A dotted horizontal line shows the value of  $\gamma_2 = 2$ .

Nuevamente aun para particiones aleatorias encontramos un maximo.

**Divergencia de los momentos**

Hemos visto que en percolacion diversos momentos divergen (los con  $k > 1$ ) como

$$M_k = (p - p_c)^{-(k+1-\tau)/\sigma}$$

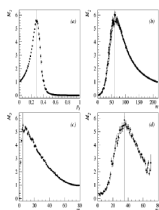


FIG. 3. The second moment  $M_2$  of the cluster distribution as a function of  $p_1$  for percolation and random partitions. (a) percolation as a function of  $p_1$ , (b) percolation as a function of  $m$ , (c)  $Au + C$  multifragmentation as a function of  $m$ , and (d)  $Au + C$  multifragmentation as a function of  $m$  (at low  $m$ ,  $M_2$  is affected by fission events not completely filtered). Solid vertical lines indicate the guess for the critical point.

Atencion, esto se calcula removiendo el cluster maximo pues FDM es sobre los clusters del gas.

Para calcular esto es necesario conocer la posicion de  $p_c, 0 m_c$ .

Siguiendo a Phys Rev. C 49(1994) 3185

**Calculo de  $\tau_{eff}$  minimo**

Si estudio el espectro de masa veo que este es del tipo :

$$n_A = q_0 A^{-\tau} f(\epsilon A^\sigma)$$

De donde se puede suponer que para todo  $p$  distinto de  $p_c$  la distribucion de fragmentos pequenos sera mas empinada que en el punto critico.

Pero ....

Si intentamos un fit con dos parametros :

$$\tau_{eff} = -\frac{\partial \ln n_A(\epsilon)}{\partial A}$$

entonces

$$\tau_{eff} = \tau - A \frac{\partial \ln f}{\partial A}$$

luego

$$\frac{\partial \tau_{eff}}{\partial \epsilon} = -A \frac{\partial}{\partial \epsilon} \frac{\partial \ln f}{\partial A}$$

Entonces  $\tau_{eff}$  depende de  $f$ !

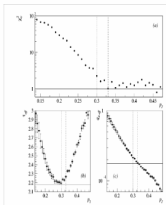


FIG. 11. Results for the minimum method on precision as a function of  $p$ . (a)  $\tau_{eff}$  vs  $p$ , (b)  $\tau_{eff}$  vs  $p$ , (c)  $\tau_{eff}$  vs  $p$ . The vertical dashed line shows the estimate of the critical point based on a best fit based on  $\tau_{eff}$ . The horizontal solid lines show the accepted values of  $\tau_{eff}$  for the precision.

## Señales buenas

### El power law de Fisher

Como vimos antes no se puede fitear  $\tau$  usando dos parametros como si fuese un power law cualesquiera.

El metodo consiste entonces en fitear solo  $\tau$  usando

$$q_0 = 1 / \sum A^{1-\tau}$$

Que es la  $\zeta$  de Riemann

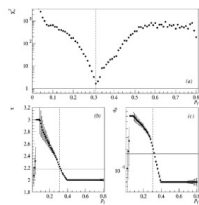


FIG. 12. Results for the best fit Fisher power law method on precision as a function of  $p$ . (a)  $\tau_{eff}$  vs  $p$ , (b)  $\tau_{eff}$  vs  $p$ , (c)  $\tau_{eff}$  vs  $p$ . The vertical dashed line shows the estimate of the critical point based on a best fit based on  $\tau_{eff}$ . The horizontal solid lines show the accepted values of  $\tau_{eff}$  for the precision.

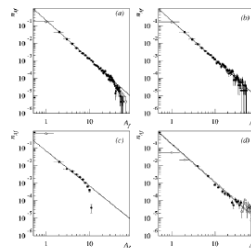


FIG. 16. Best fit Fisher power law for (a) precision ( $p$ ), (b) precision ( $p$ ), (c) random patterns, and (d)  $A_n = C$ . Solid circles were included in the fit, open circles were excluded. Solid lines show the best fit power law. Dotted lines indicate error on the power law based on errors in the fitted parameters.

# NVM

Otra propuesta para detectar el punto crítico es:  
C.O.Dorso et al. PRC 60 (1999)034606

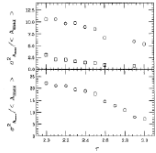


FIG. 2. Normalized variance for the maximum partition model when the partitioning is performed according to a power law with  $\mu$  in the range  $2 < \mu < 4$  (the physically interesting region) for, in the upper part, the system with  $L_x = L_y = 20$  with uncorrelated multiplicity (open squares) and three multiplicity in the same problem (open circles), and in the lower part the same but for  $L_x = 20$  and three multiplicity. In all cases no signal is observed.

using the Yukawa potential, see given in Ref [4] and give a corresponding equation of state (EOS) of classical matter with a compressibility of about 1/3. Most (see Ref

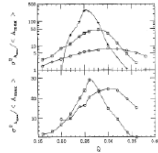


FIG. 3. Normalized variance for the bond partition in finite systems as a function of the bond activation probability  $Q$ . Top: in the upper part, boxes of sizes  $10 \times 10 \times 10$  (squares),  $10 \times 10 \times 10$  (circles) and  $5 \times 5 \times 5$  (triangles) with uncorrelated multiplicity. It is clearly seen that the smaller is the size of the system the bigger is the difference of the maximums of the curves from the percolation critical bond for infinite lattice ( $Q_c = 0.5$ ). This is a clear manifestation of finite size effect. The lower part shows the same in the upper part but for three multiplicity and for boxes of size  $10 \times 10 \times 10$  (squares) and  $5 \times 5 \times 5$  (circles).

Donde se grafica :

$$\sigma_{NVM} = \frac{\langle A_{max}^2 \rangle - \langle A_{max} \rangle^2}{\langle A_{max} \rangle}$$

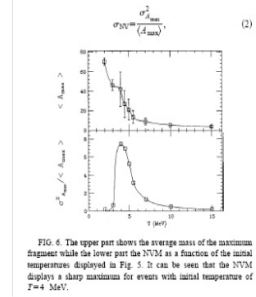


FIG. 4. The upper part shows the average mass of the maximum fragment while the lower part the NVM as a function of the initial temperature displayed in Fig. 5. It can be seen that the NVM displays a sharp maximum for events with initial temperature of  $T = 4 \text{ MeV}$ .